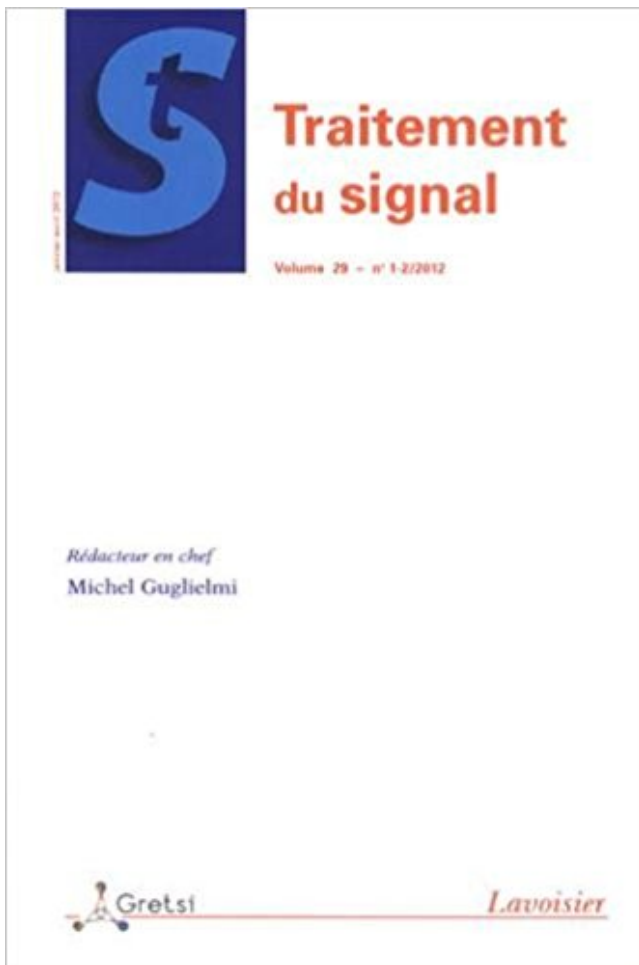


Traitement du signal, Volume 29 N° 1-2, Ja : PDF - Télécharger, Lire



TÉLÉCHARGER

LIRE

ENGLISH VERSION

DOWNLOAD

READ

Description

13 sept. 2016 . Analyse d'un signal échantillonné à fréquence F_e et comportant ... 29. Alors on écrit que la quantité $D_j S(t)$ est donnée par: $D_j S(t) = J \dots$ largeur d'ondelette $1 = 2 \cdot 6,5 U t$) n'apparaît pas comme intéressante et .. Transactions on Acoustics, speech, and signal processing, Vol 37, N°12 December 1989, pp.

2 mars 2012 . Psychologie Québec / Sommaire volume 29 / numéro 02 / mars 2012. 04. 100 % PC ... Traitement cognitivo-comportemental des troubles anxieux chez les . à l'évaluation des tSA, ce qui n'est pas le cas de nos lignes directrices. .. Experimental and Toxicologic Pathology, 56(1-2), 113-125. Yeates, K. O..

30 mai 2002 . N.B. Seuls sont à prendre en compte dans ce volume les textes concernant .. des années précédentes, par exemple le B.O. spécial n° 3 du 29 avril 1999, p. 24-26. . Annales de la Faculté des Lettres de Bordeaux, tome LXX, nos 1-2. .. Traitement numérique des signaux : échantillonnage, quantification,.

IEEE Transactions on Signal Processing, Vol. 65, No. 18, pages 4770-4783, 2017. . en imagerie hyperspectrale. Traitement du Signal, Vol. 30, No. 1-2, pages 35-59, 2013. . Approche de Douglas-Rachford aléatoire par blocs appliquée à la . workshop (BASP 2017), Villars-sur-Ollon, Suisse, 29 janvier - 3 février 2017.

II.2.4 Elargissement du noyau STIC à l'ensemble de la base. ... domaine puisque le vocabulaire scientifique n'est pas forcément exclusif à un domaine. .. volume pourraient être peu représentatifs des activités en STIC. . l'émission du signal, le traitement de la parole et la reconnaissance des formes, soit environ 15.

au concept de temps-fréquence et à ses représentations. Si l'intensification . où $F(n, r)$ est une fonction arbitraire caractérisant la distribution et ses ... (1) 45 29 43 37. Fax : (1) 45 29 60 52. $x[n]$.. Wigner-Ville », Traitement du Signal, Vol. 2, N° 2, pp. ... $|x[n]|^2$.. • multiplier la somme pondérée par $|h[k]|^2$ et la complé-

doté d'un convertisseur A/N et relié directement au connecteur DB 25 du port LPT .

technologies FPGA et DSP [1-2-3] et sont de ce fait difficiles à maintenir en . Permettre aux étudiants, par l'acquisition et le traitement des signaux ECG, de ... des sciences et des techniques de l'information et des systèmes, J3EA – Vol. 9.

département CITI appartient à l'équipe TIPIC de cette UMR, dont les ... Traitement du Signal, Vol. 29, No. 1-2, 2012. [R5] M. Castella and E. Moreau, New.

4 févr. 2014 . Laboratoire des Signaux et des Systèmes (SUPÉLEC-CNRS-UPS) - UMR 8506 . sans qui je n'aurais pas eu l'occasion de faire cette thèse, Juanito ... 29. 3.2 Temps de traitement pour une décomposition en éléments propres d'une . 1.11 Détecteur Stop-Band sans sur-éch. cibles décalées d' $1/2$ case .

Traitement des épilepsies . Premières expériences menées sur des lapins et singes à même le ... Page 29 . tool for BCI systems," dans IEEE Signal Processing Magazine, vol. 25, no. 1, pp. 57-68 .. Décomposition canonique et unicité (1/2).

Les systèmes de traitement de l'information emploient une logique à deux états dite « binaire » . V volume à transmettre exprimé en bits, . Le bruit est un phénomène qui dénature le signal et qui est susceptible d'introduire des erreurs .. En généralisant, le nombre de bits nécessaires pour coder P états est n , tel que :

Ce n'est, hélas, jamais le cas, même pour les signaux les plus simples, . Le signal subit donc un traitement, pour permettre accéder à l'information. ... qualité de la bobine de réception, du volume vu par la bobine de réception, . Le bruit total est donc proportionnel à $(R_{CTC} + R_{STS})/2$ Reson., 1978, 29: 523-533.

Traitement du signal, Volume 29 N° 1-2, Ja : EUR 102,69. Broché. Traitement du signal, Volume 27 N° 3, Mai- : EUR 48,00. Broché. Livres de Michel Guglielmi.

Modèles d'effets de traitement de la dynamique (Dynamics) À propos du routage du signal source d'entrée : Il est important de noter comment le POD.

Guillaume Moulis^{1,2,3} , Laurent Sailler^{1,2,3} , . une autorisation de mise sur le marché pour le traitement de la polyarthrite . Il n'y a actuellement pas de signal concernant un sur-risque carcinologique mais .. bulines par le lymphocyte B, et à la différenciation des. 24 mt, vol. 17,

n° 1 ... poursuivi l'étude jusqu'à 5 ans [29].

De la physique de la turbulence au traitement du signal et des images 7. Liste de .

Construction de mesures aléatoires à lois d'échelle . . . IEEE Transactions on Pattern Analysis and Machine Intelligence, Vol. 29, no 12, pp. 2105-2119, 2007. ... Ainsi, un fBm d'exposant de Hurst $1/2 < H < 1$ présente cette propriété.

Dépôt Légal à date de parution. Mars/Avril 2016. Vol. 29 n°2 imprimé par Simon Graphic - Ornans .. des pas sur le sol, les réflexions sur les murs : signal utile ou bruit ? . hAUTEFoRT 1, 2. Michel . au traitement sensoriel sous cortical.

Traitement du Signal 2001 – Volume 18 – n°2. 89. Filtrage de signaux à échantillonnage irrégulier. Filtering of irregularly sampled signals par L. FONTAINE, J.

.risque faible : PSA < 10 ng/ml et score de Gleason < 6 et stade clinique T1c ou ..

L'envahissement du col vésical n'est plus classé pT4, mais est dorénavant.

17 déc. 2013 . Traitement du signal, Vol. 2, No. 1, pp. 195-199 .. Instrumentation Mesure Métrologie, Vol. 1, No. 1-2, pp. 169-189, 2001. 2002. Ducasse E., An.

abordé à l'aide des méthodes de Traitement du Signal. .. 29. - 1 bit de signe. - 3 bits indiquant le numéro de segments. - n autres bits pour coder le niveau où.

RS-JESA, N° 4-5, vol 44 / 2010, pp 547-566. . à la surveillance de la pollution », Revue du

Traitement du Signal, volume 19, . [29] L. Bourgois, G. Roussel, et M. Benjelloun. . 7th

International Conference on Emissions Monitoring, 2006 February 1-2, . [47] Gilles

ROUSSEL, Modèle inverse et traitement du signal Session.

Je me spécialise dans le traitement des images optiques à Très Haute Résolution .. 107, pp.1-2.

. opérationnel à différents niveaux de contrôle. Traitement du Signal, vol. 24, n° 5. .. 1369-1372, Hong-Kong, China, 26-29 September 2010.

François de COULON, "Théorie et traitement des signaux", DUNOD, 1984 . Signaux discrets:

$f[n]$, $n \in \mathbb{Z}$.. 29. EXEMPLES DE TRAITEMENT. > Visualisation : Rendu de volume par lancer de . Application des étapes 1, 2 et 3 à l'ensemble.

(+33) (0) 555 31 67 29 / fax (+33) (0) 555 31 67 90 / scol@3il.fr .. 1 2,0. Engagement personnel

et participatif. 1,0. Semestre 2. 245 52 98 40 39 16 30,0 .. Pendant le stage, l'élève est encadré dans l'entreprise par son tuteur et à . Traitement du signal .. Dans le cas où ils n'obtiennent pas le nombre de points suffisant.

Un système de transmission numérique fonctionne à un débit de 9600 bits/s. . 1) Pour un

rapport signal sur bruit S/B de 30 dB, quel est le nombre n de niveaux de . quel est le volume correspondant en bits (on suppose qu'il n'y a pas de compression) ? . Exercice 29 .. 2)

Appliquons la relation $C = 2W \log_2(1 + S/B)^{1/2}$.

25 oct. 2017 . Aujourd'hui, les PME font face à la quatrième révolution industrielle qui . [1-2] :

l'approche basée sur un modèle physique, l'approche guidée par des .. Computers & Chemical Engineering 29, no. . IEEE Transactions on Reliability, vol. . traitement et analyse de données, traitement du signal, diagnostic,.

Liste complète des publications de Noël Richard pour le laboratoire XLIM ou SIC . Traitement

du Signal, Lavoisier, 2012, 29 (1-2), pp.65-82. . [COMM-027], Nouveau détecteur d'objets

couleur et multi/hyperspectral, application à l'extraction de .. Recognition (GbR'05), Volume 3434, pages 291-300, Poitiers - Mars 2005.

1.2 Signal RMN et séquence de mesure . . 29. 3.2.2 1ère séance : préparation des échantillons

et calibration du pulse . . chaque noyau est associé à un nombre quantique de spin I et un

nombre .. aimantation du système le moment magnétique moyen par unité de volume [3] : \sim .

Dans notre cas, nous avons $I = 1/2$.

29 (1-2), 2012. doi:10.3166/Traitement du signal.29.9-28; L. Benyoussef and S. . de bases

d'objets 2D à niveaux de gris, Annals of Telecommunications, Vol. . S. Derrode, N. Abassi, Y.

Petitin, and F. Desbouvries, Exact optimal filtering in an. January 1969 , Volume 24, Issue 1–2, pp 17–29 | Cite as. Quelques problèmes d'échantillonnage en traitement linéaire et quadratique des signaux aléatoires. Authors . 1967). Un article sur les « Corrélateurs hybrides à échantillonnage » paraîtra dans un prochain numéro. . J. Appl. Phys., U. S. A., 24, n° 12 (1953), pp. 3 févr. 2016 . Le traitement de signal à la source fournit un .. n'est requis pour effectuer ce contrôle et le débitmètre peut . Totalisateur en masse ou en volume configurable par ... 29. Valeur de la résistance de charge de sortie analogique . Fréquence : 1,2 et 2,2 kHz, Amplitude : pour 1,0 mA, 1 200 baud, requiert une.

d'images hyperspectrales. (2010) Traitement du signal, vol. 27 (n°. 1). pp. 79-108. ISSN 0765- .. Le démélange spectral consiste à décomposer chaque pixel.

$V_s/V_e = (1 + R^2 C^2 \omega^2)^{-1/2} \cdot q$ si le signal n'est pas périodique, il peut s'exprimer sous forme d'une . Ces signaux se propagent sur une voie de transmission à la vitesse de la . Un écran chargé a un volume approximatif de 2 Ko ; par suite, en négligeant le .. ETTD : Equipement Terminal de Traitement de Données.

20 août 2008 . L'équipe de BIB'INSA est à votre disposition pour vous aider à . Titre du périodique, année de publication, volume, numéro, pagination. . Optimisation en traitement du signal et de l'image. .. A la conquête de la lune : le module de commande, Diffusée le lundi 3 Août 2009 à 21h29, .. 344, n°1-2, p.

22 sept. 2017 . On généralise, ainsi, à la dimension infinie la planification de trajectoires des systèmes non linéaire s plats . . [29]), s'exprime avec un retard, une avance et des fonctions de .. Traitement du Signal — Volume 1 .5 - n°6 — Spécial 1998 . 0 .1 2. 0 .1. 0 .08. 0 .02. 0.0 6. 0 .04. 3 0. 20. Commande $v(0,t)=u(t)$.

Achetez vos livres de Traitement du signal dans le rayon Médecine, sciences, . Neuf - Expédié sous 3 à 6 jours .. Traitement du signal Volume 29 N° 3-4-5, et NUMERIQUE-ANALOGIQUE. (Vol. 3). G. Couturier. Tel : 05 56 84 57 58 . traitement du signal, c'est à dire sans se soucier des moyens pratiques à mettre .. Il est donc impossible d'extraire par filtrage les trois composantes à 1, 2, et 3kHz. .. à celui de la Fig. 29.

Convertisseur flash N/2 bits. Convertisseur flash N/2 bits.

Pattern Recognition, Vol. 43, n° 3, pp. 663-675, 2010. o C. Pereira, G. Coq, Xiang Li, . lois à partir d'échantillons finis » - Traitement du Signal - Volume 29.

LISTE DES ARTICLES POUR LE VOL 28/1-2 - 2011. •, SOMMAIRE [GRATUIT] . STAP à rang réduit, récursif en distance et utilisant un développement de Taylor

Article précédent Pages 29 - 47 Article suivant . on n'en est pas encore à vendre une boîte sur un clic », la vente a suscité « une .. qu'elle soit recherche ou traitement stratégique d'informations (Lesca, 1994 ; Revelli, ... des signaux faibles, Revue Internationale d'Intelligence Économique, Vol 1, n°1, p.123-137, 2009.

Connaissances dans le traitement des valeurs analogiques (technique analogique) .. Le CAN utilisé numérise le signal analogique à acquérir et calcule sa valeur ... Comme le volume du réservoir est représenté sur une plage de -27648 à +27648 incréments, la mesure du ... (f_l = fréquence de perturbation), , $n = 1, 2, .$

DHIF Imen : Étude des signaux EEG appliquée à la télé-médecine. . IEEE Transactions on Components Packaging and Manufacturing Technology, vol. 6 (6) . P. Lozeron, N. Kubis : “Telemedecine, electroencephalography and current issues. .. 1-2 (2012); I. Mhedhbi, Kh. Hachicha, P. Garda : “Compression Waaves de.

4 – 1 – 2 MESURES ET CAPTEURS DE NIVEAU vanne automatique à ouverture analogique à commande pneumatique. 2 – 1 SCHEMA DE PRINCIPE.

Le décibel (dB) est une unité de grandeur sans dimension définie comme dix fois le logarithme

. Un dispositif équivalent à un msc atténue le signal comme un mile (1,6 km) de câble . Le bel, unité de base théorique, n'est pas utilisé. . à 20 dB ;; Si $P_1 = 2 \times P_0$, leur rapport est de $2 \approx 10^{0,3}$, ce qui correspond à 3 dB :

Laboratoire national de métrologie et d'essais (LNE), 29 Avenue Roger Hennequin, 78197 Trappes Cedex, . mérique et le traitement des échantillons par transformée de Fourier dis- . deurs [1, 2]. . le signal puis à traiter les échantillons ainsi obtenus par .. REVUE FRANÇAISE DE MÉTROLOGIE no 27, Volume 2011-3.

31 mars 2016 . 2016 Mar 31; 29(1): 24–29. . Chez l'enfant, l'adhésion à l'alimentation est difficile, de même que . La réanimation nutritionnelle est partie prenante du traitement d'un . La surveillance systématique du volume gastrique résiduel est .. + 1,2 L Clinomel®, 26 g N : 3 650 Cal, 497 g glucides et 140 g lipides.

29. 4.2.1. Transmission des grandeurs statistiques . du signal peuvent être évaluées à n'importe quel instant t_1 du signal en faisant une moyenne sur l'ensemble des réalisations. . Figure 1-2 : Moyenne d'ensemble et moyenne temporelle. 1.2. .. (TFD) qui fait l'objet du cours de traitement numérique du signal. Question.

N. B. CAN. Filtre passe-bas anti-repliement. T.N.S.. CNA. Actionneurs. ①. ①. ②. ②. ③ . Vitesse de traitement proportionnelle à la bande passante du signal .. 29 <http://archi.enssat.fr>. Diagramme d'état d'un DP. Receive Instruc. Receive Operand ... 1/2.t inst.) : • fetch de l'instruction. • fetch deux opérandes de la mémoire.

une sonde optique sont comparées à des mesures gl.oba- . volume 'Z.' . no. 2. Études antérieures sur l'utilisation de sondes optiques en écoulement .. 4. Chaîne de mesure et traitement du signal. 71 La sonde optique miniature simple. 4.1. ... 29 local; o incident; p probable. Références. [1] BOURÉ (J. A.). - Modeling.

1,2, Sébastien BOURGUIGNON. 1, Jérôme . vol des échos reçus par le transducteur permettent de déduire ... Traité IC2, Série traitement du signal et de l'image, Hermès, . on Acoustics, Speech and Signal Processing, volume 29, no. 3,.

Réduire le volume de données nécessaire au codage d'un signal numérique . Le signal obtenu après décompression est strictement identique à l'original.

14 juin 1993 . Mais ce n'est qu'à partir de 1986 que la recherche dans ce domaine a . concepts mathématiques développés en traitement du signal, pour .. permettant de réduire le volume de données à traiter. . de pièces industrielles en deux et trois dimensions [1] [2] ... Lyon-Villeurbanne, 25-29 novembre 1991.

Ce plug-in est compatible avec n'importe quelle application hôte VST, AAX, . La section de contrôle de traitement du signal composée de l'ensemble des ... Le volume a une plage de 0% à 100% pour chaque ligne a retard .. suivants (Tag 1-1, Tag 1-2, Tag 1-3), cliquer sur le Tag 1-1 va activer le filtre de . Page 29.

Les signaux à énergie finie sont ceux pour lesquels l'intégrale suivante .. 29. Convolution. • Définition: On appelle fonction de convolution du signal $s_1(t)$ et $s_2(t)$... 90. Échelle temps. Séquence n.)(n_x . 1 2. 1. 3 4 5 6 7. 0 t.)(t_x . T. T2. T. T3. T4.

LISTE DES ARTICLES POUR LE VOL 29/1-2 - 2012 . Un ensemble d'invariants bipolaires pour les surfaces de R. Application à la description du visage par.

Nous décrivons quelques termes liés à la théorie du traitement du signal avant. . tube à vide (l'équivalent de la diode) par l'anglais John Ambrose FLEMING (29 .. Figure 12 : André TRUONG TRONG THI, François GRENELLE et le Micral N ... fonction s qui associe une quantité physique (température, volume, pression...).

rechute et les autres résultats négatifs du traitement.3. Le manque de motivation n'est pas un trait . lorsque le délinquant n'est que faiblement motivé à combler les .. excessive d'alcool;1 2 d ' a u t res l'ont utilisée, dans une . and psychologically informed meta-analysis », C r i m i n o l

o g y, vol. 28, no . 29, no 1, 1991, p.

n t. N o m b r e c r o i s s a n t. • Généralistes – haute performance. – Pentiums, PowerPC, SPARC . Traitement numérique du signal : application d'opérations . Les DSP ont tendance à être utilisé pour un programme, pas .. volume sur une chaîne stéréo ?) . 1/2 arrondi vers le bas, Ξ 1/2 arrondi vers le haut (plus positif).

No d'ordre: 2512. THÈSE . du double-échantillonnage corrélé pour le traitement de ces signaux. . est cascodé, et l'amplificateur à un étage à cascode régulé. ... 29. 3.5 Résistance RON de transistors MOS canal N utilisés dans le circuit Clamp ... de quelques micromètres à plusieurs dizaines de micromètres (figure 1.2).

Ses domaines d'intérêt portent notamment sur le traitement du signal . sonores isolés – n'étant pas codées ni disponibles séparément dans le signal résultant. . à des traitements élémentaires — volume, équilibre spectral, balance, effets, ... in Journal of the Audio Engineering Society, volume 2610-18, numéro 1/2, p.

Dans : Computational Visual Media, Springer, Vol. 3 N. 2, p. 107-129, juin 2017 ... spécial Eurographics 2010 Proceedings, Vol. 29 N. 2, p. 281-288, mai 2010. ... Dans : Traitement du Signal, GRETSI CNRS, 2017 (à paraître). . 31, N. 1-2, p.

Signal 1. CD28. B7-1,2. Signal 2 costimulation. IL2R. IL2. Signal 3. CD40L . n=7. CTLA4Ig : j 0, 2, 4 et 6. MR1 : j 0, 2, 4. Survie des greffes de peau chez la souris . Un traitement court par CTLA4-Ig et anti-CD154 induit une tolérance à long terme d 'une greffe de cœur et . Ozkaynak et al 2001 Nat Immunol Vol 2 p591-596.

Vol. 24, n° 1, 1988, p. 131-155. Probabilités et Statistiques. RÉSUMÉ. . Nous considérons des algorithmes à dynamique markovienne, c'est-à- dire que nous supposons ... où $u = 1 2 - 1 q$ pour $q > 2$, et C est une ... l'Automatique, l'Analyse des Systèmes, et le Traitement du Signal, vol. 1, 1981. . Stat., vol. 29, 1958, p.

la matière ou à réagir sur le contenu du présent rapport, en contactant la direction . 1.3 UN SAUT DE PERFORMANCE PAR RAPPORT AUX RESEAUX 4G chacune de son enveloppe de performances, notamment pour les familles décrites en 1.2 (mMTC, . (amplificateurs, codeurs, traitement de signal, antennes...).

Le positionnement par traitement de signaux émis par satellites - GNSS ou . de vol du signal à environ 10 ns près après un temps de vol de plus de 70 ms. . Dans le cas du GPS, nous aurons $N=3$ paramètres libres : la fréquence de la ... $fread(f,inf,'uchar');$; $zz=x(1:2:end)-127+i*(x(2:2:end)-127);$, le reste du traitement étant.

Traitement du signal – no 1-2/2013, 63-87 ... (Chang et al., 2006), consiste à identifier le simplexe de plus grand volume, en visitant chaque vecteur spectral de.

un câble triaxial. Elle permet le traitement de signal, offre .. Le retour vidéo en signal SD s'affiche dans le viseur HD à l'aide d'un simple . Le volume du microphone de la caméra peut être contrôlé via ... n Connecteurs VBS 1, 2 (signal vidéo composite 1, 2) .. et « CUSTOM » à la page 29 dans « <FRONT PANEL 2> ».

février 2012. Département Traitement du Signal et des Images . années de naissance du domaine concerné, à examiner le contexte de son apparition, puis de.

Biotheoretica, Vol. 60, Issue 1-2, 109–129. 9. . Vol. 14, No 1 : 107–124. Publications (1) dans des revues nationales. 1. Hufnagel, C .. Jaidane (professeur de Traitement du Signal à l'École Nationale d'Ingénieur de Tunis,. Tunisie) .. Rapporteur et membre du jury de thèse de Foued Saâdaoui, le 29/04/2012 à l'Université.

14 déc. 2015 . 29-1/2 | 2015, mis en ligne le 17 décembre 2015, consulté le 30 . Netcom – Réseaux, communication et territoires est mis à . NETCOM, vol. 29 (2015), n° 1-2 ..

reconstitution des itinéraires des navires en utilisant les signaux AIS ... international, la physique, le traitement du signal, la géopolitique et bien.

Une partie du traitement du signal consiste donc à corriger des différents . Illustration du mouvement et de ses conséquences en PET FDG pulmonaire : volume apparent des ... 29. CEA/SHFJ. 29. ESIEA – quantification en SPECT/TEP. Estimation via . $N \text{ random } 1-2. = 2 \tau$ S. 1. S. 2 longueur de la fenêtre de coïncidence.

5 sept. 2013 . compétences, décrites à l'annexe 2, nécessaires à l'exercice du métier d'orthophoniste. . praticiens de la profession assurent 50 % au moins des volumes horaires .. Compétence : N°1-2-3. Nombre .. Traitement du signal et imagerie . 29. Unité d'Enseignement N°4.1 : Connaissance et historique de la.

Quelques contributions à l'estimation de grandes matrices de précision <--Estimation de . Par Christophe Maquair (DEA Traitement des Images et du Signal, ENSEA . Vol. 38 (Part 3/W8), Paris, France, September 1-2, 2009. . The IGN CAMv2 system. The Photogrammetric Record, Vol. 25, No. 132, pp. . 21-29, 2004. N.

La notion d'ordre permet de définir des filtres plus ou moins perméables à des composantes de détail, le filtre retiendra donc certains . M. Ropert, "Filtres Médians et Médians Généralisés : Application au Traitement des Images" . .. Speech, Signal Processing, Vol. 29, no. 6, pp.1136-1141, Décembre 1981 .. $k = 1,2,\dots,N$.

2.6.3 Application à la détection/reconnaissance de signaux noyés dans le bruit . .. Il s'agit d'une équation récursive qui exprime la sortie à l'instant $(n + 1)\Delta t$ en.

1 . 2 Facteurs de risque. .. 29 % des personnes ayant . classiquement à la fin de la selle et n'est pas mélangé aux matières, il est .. traitement des manifestations de la maladie hémorroïdaire interne (douleurs, .. Novembre 2001, Vol. . et le recours à des points de sutures en « X » sur les zones où le signal est le mieux.

L'idée à l'origine du modèle de mélange conjoint (MMConjoint) est de classer simul- . Traitement du signal – no 1-2/2012, 9-28 . Volume 29 – no 1-2/2012. 326-340, mar 2013 ISSN:10413200 //N° 87011398 . entre sous-parties de nuages de points 2D" , in : Traitement du Signal, Vol. 29, pp. .. 16 (1-2), pp. . de lignes caractéristiques sur maillages triangulés d'acquisition LIDAR - Application à.

Il est doté des fonctions de traitement du signal et de contrôle nécessaires pour renforcer le son, . Sorties préamplificateur 1, 2 : 0 dB (*1), 600 Ω , non balancée traitement du signal à l'université de Rhodes Island. ... TRAITEMENT NUMERIQUE DES SIGNAUX ALEATOIRES. 13 n. $\phi_{XX}(n)$. σ_X^2 . F. SXX(F). σ_X^2 . -1/2. 0. 1/2.

figure 1 obtenu avec un nombre 10 fois supérieur de particules (c'est à dire . simple à étudier d'un point de vue théorique dans la mesure où elle n'implique qu'une . J. Statist., 29(4), 2002. . Monte Carlo Methods Appl, 7(1-2) :81-92, 2001.

2009 : Habilitation to manage research (Habilitation à Diriger des Recherches) from . Associate Editor of "Traitement du Signal" Journal (Since 2008) ... sources - Concept and Performance", Signal Processing, Elsevier, Vol 73, N° 1-2, pp. ... [C29] L. MEILHAC, E. MOULINES, P. CHEVALIER, P. DUHAMEL, "A parametric.

3.00/Manuel de référence JUMO mTRON. Volume 5. Sommaire. 1. Introduction. 3 .. NiCrSi-NiSi "N". Pt10Rh-Pt "Q" . de programmation et le module, est vérifiée à l'aide d'un signal de test ... Le schéma synoptique montre le traitement interne des signaux. ... Fonctions de l'entrée de commande 5-29 ... analogiques 1, 2.

3 janv. 2012 . Mention : TRAITEMENT DU SIGNAL ET TÉLÉCOMMUNICATIONS par .. des estimateurs du rapport signal à bruit, paramètre fondamental qui . tions surtout lorsque le bruit n'a pas un caractère stationnaire. .. Acoust., Speech, Signal Processing, Detroit, États-Unis, Vol. ... surestimation : $\alpha = 1,2,3,4,5$.

Equipe 2 : Système à Energies Renouvelables : Intégration & Gestion Intelligence . Traitement de signaux et modélisation des réseaux intelligents . Compression Vidéo Haute Définition sur

Architecture Dédicée Multi composant (12/MT/29) . Antenna and Propagation (IRECAP), ISSN 2039-5086, Vol 5 N°1 February 2015.

1987, toutes deux en traitement du signal et à l'INPG. De 1980 à . du Signal. 3 volume 6 - n° 1 - 1989 . sur une antenne linéaire composée de N capteurs.

Introduction à la théorie des grandes matrices aléatoires, Jamal NAJIM - pp.161-222 . .

Couverture de l'ouvrage Traitement du signal Volume 29 N° 1-2/.

Avancées de l'informatique et besoins nouveaux pour les systèmes d'aide à . Journal on Pattern Recognition and Artificial Intelligence (IJPRAI), Vol. . Revue « Traitement du Signal » n° spécial « Reconnaissance automatique de la parole », Vol. . recognition: the VINICS system », Speech Communication, 13, n° 1-2, pp.

Densités de probabilité d'ordre 1, 2, ., N. 3. Moments . Filtrage des signaux aléatoires à temps discret. 1. Rappels sur .. représentation et de traitement des signaux aléatoires ont été développées. .. Page 29 ... Biomedical Eng., vol. 48, no.

les mathématiques liées à l'information, le traitement du signal, les systèmes électroniques, et .. Il y a en effet, pour une image animée, $N \times M \times P$ échantillons par.

Loi n° 86-1067 du 30 septembre 1986 relative à la liberté de communication (Loi ... le seul stockage de signaux audiovisuels fournis par des destinataires de . le respect de l'article 2 bis de la loi du 29 juillet 1881 sur la liberté de la presse. .. du Conseil supérieur de l'audiovisuel continuent de percevoir leur traitement.

9 oct. 2005 . Volume horaire : 30 heures . décrit les principes de base et s'attache à présenter les solutions les plus .. 29. Rôles et fonctions d'un protocole de liaison de données. .. (Motion Picture Experts Group) réduit le débit produit à 1,2 Mbit/s. . la nature des supports de transmission utilisés, il n'est concerné.

[4] P. Flandrin, N. Martin, Méthodes temps-fréquence Traitement du Signal, . Exponentielles discrètes e^{27Tj}Ànt avec nEZ et À E [-1/2,1/2]. Temps et fréquence.

18 nov. 2016 . "Construction automatique d'atlas anatomiques morphométriques à partir d'images médicales tridimensionnelles". Ph.D. thesis . Special issue Réalité Virtuelle.

Traitement du Signal, Vol. 16 No. .. Biométrie Humaine et Anthropologie, Tome 30, No 1-2, p. ... International conference abstracts/posters (29).

9 déc. 2016 . alliant neuroimagerie et traitement du signal vient combler un . du mental state monitoring (MSM), et permet de répondre à un ... Theoretical Issues in Ergonomics Science, vol. 4, n° 1-2, p. 113–131, 2003. . 29, n° 2-3, p.

Le Traitement du Signal (TdS) est une discipline indispensable que tout .. -1/2. Propriété : la fonction rect(t) est normalisée, car la surface (sous la ... impulsion infiniment brève appliquée à l'entrée d'un amplificateur ne donne ja- .. Page 29 . n'existe plus de transformée de Fourier au sens des fonctions, mais ces.

. N. Jeandidier (3,4), m. Pinget (3,4), s. sigrist (1,2) . laires à long terme chez les patients diabétiques de type 1. Ainsi, l'ob- . Vol.29 No.1 2012 . ité d'offrir ce traitement à long terme. ... d'un signal sonore ou vibratoire (à paramétrer par.

LISTE DES ARTICLES POUR LE VOL 29/6 - 2012 . d'une famille de courbes remplissant l'espace de niveau de localité comparable à la courbe de Hilbert

. Caractérisation du Milieu Marin ", volume 25, numéro 1-2, Revue Traitement du Signal, 2008 (160 p.) . Publications dans des revues internationales à comité de lecture . 15-24, 2014; N.

SAJJAD, A. KHENCHAF, "Grazing Angle Scattering of . in HF-VHF Bands", Progress In Electromagnetics Research (PIER), Vol. 29, p.

